

**Zeitschrift:** Bulletin de l'Association suisse des électriciens  
**Herausgeber:** Association suisse des électriciens  
**Band:** 50 (1959)  
**Heft:** 22

**Artikel:** Untersuchungen von Ward-Leonard-Regelungen mit einem Analogie-Gerät  
**Autor:** Bühler, H.  
**DOI:** <https://doi.org/10.5169/seals-1057827>

### **Nutzungsbedingungen**

Die ETH-Bibliothek ist die Anbieterin der digitalisierten Zeitschriften. Sie besitzt keine Urheberrechte an den Zeitschriften und ist nicht verantwortlich für deren Inhalte. Die Rechte liegen in der Regel bei den Herausgebern beziehungsweise den externen Rechteinhabern. [Siehe Rechtliche Hinweise.](#)

### **Conditions d'utilisation**

L'ETH Library est le fournisseur des revues numérisées. Elle ne détient aucun droit d'auteur sur les revues et n'est pas responsable de leur contenu. En règle générale, les droits sont détenus par les éditeurs ou les détenteurs de droits externes. [Voir Informations légales.](#)

### **Terms of use**

The ETH Library is the provider of the digitised journals. It does not own any copyrights to the journals and is not responsible for their content. The rights usually lie with the publishers or the external rights holders. [See Legal notice.](#)

**Download PDF:** 25.12.2024

**ETH-Bibliothek Zürich, E-Periodica, <https://www.e-periodica.ch>**

# Untersuchungen von Ward-Leonard-Regelungen mit einem Analogie-Gerät<sup>1)</sup>

Von H. Bühler, Bassersdorf

621.313.2.077.3 : 681.142.001.57

Aus den Differentialgleichungen des Ward-Leonard-Kreises lässt sich die Nachbildung auf einem Analogie-Gerät ableiten. In vereinfachter Form wird der Einfluss der Ankerrückwirkung auf das dynamische Verhalten untersucht, und es werden einige am Analogie-Gerät gemessene Ausgleichvorgänge gezeigt.

Des équations différentielles du système Ward-Léonard peuvent se dériver des imitations par un calculateur analogique. L'influence de la réaction de l'induit sera examinée par une simplification à la réponse transitoire et quelques phénomènes transitoires seront démontrés au calculateur analogique.

## 1. Einleitung

Die Vorteile, die ein Analogie-Gerät zur Untersuchung von Regelkreisen bietet, sind kurz zusammengefasst die folgenden:

Das statische, vor allem aber das dynamische Verhalten der Regelung kann zum voraus bestimmt werden, ohne dass z. B. die Maschinen, die die Regelstrecke darstellen, verwendet werden müssen. Die Konstanten der Regelstrecke lassen sich leicht verändern, was besonders bei Entwicklungsversuchen vorteilhaft ist. Durch das Wegfallen der meistens grossen Maschinen, die ein vorsichtiges Vorgehen bei den Versuchen erfordern, lassen sich bei Anwendung von Analogiegeräten die Versuche bedeutend rascher durchführen, was wiederum für die Entwicklung von grossem Vorteil ist. In vielen Fällen ist es zweckmässig, nur die Regelstrecke nachzubilden und den richtigen Regler anzuschliessen, der auf diese Weise vorgeprüft und eingestellt werden kann. Natürlich kann auf Versuche mit den richtigen Maschinen nicht ganz verzichtet werden.

Im Folgenden wollen wir uns auf Drehzahlregelungen mit Ward-Leonard-Kreisen beschränken, wobei vor allem gezeigt werden soll, wie das statische und dynamische Verhalten von Gleichstrommaschinen mit einem elektronischen Analogiegerät nachgebildet werden kann.

## 2. Der Ward-Leonard-Kreis

Fig. 1 zeigt die bekannte Schaltung eines Ward-Leonard-Kreises mit Generator und Motor. Hier sind auch die später verwendeten Bezeichnungen

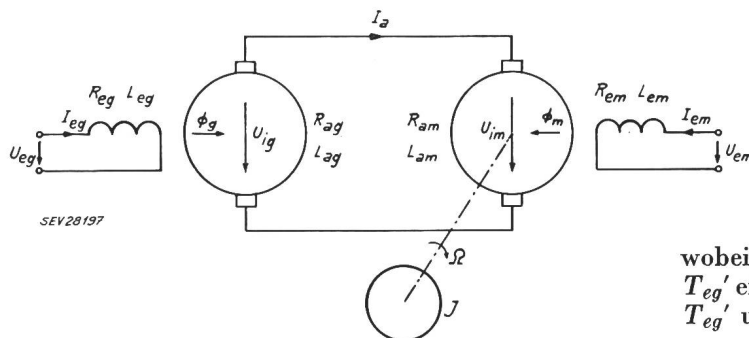


Fig. 1

Schaltung eines Ward-Leonard-Antriebes  
Bezeichnungen siehe im Text

eingetragen. Es lassen sich die folgenden wesentlichen Teile unterscheiden und getrennt behandeln:

- Generatorfeld;
- Motorfeld;
- Ankerkreis;
- Bewegungsgleichung des Motors.

<sup>1)</sup> Vortrag, gehalten an der 4. Tagung der Schweizerischen Gesellschaft für Automatik vom 2. bis 5. Dezember 1958 in Zürich.

Um verschiedene Ward-Leonard-Antriebe besser miteinander vergleichen zu können, ist es zweckmässig, bezogene Grössen einzuführen, ähnlich wie es bei der Behandlung des nichtstationären Verhaltens bei Synchronmaschinen üblich ist (Per-unit-System). Im Falle der Ward-Leonard-Antriebe scheint als Bezugspunkt aller Grössen am zweckmässigsten: «Nennlast bei grösster Drehzahl bei ungeschwächtem Motorfeld.» Damit sind die Bezugspunkte für alle Grössen wie Erregerströme, Ankerspannung, Ankerstrom, Drehzahl usw. festgelegt.

Zur Unterscheidung der wirklichen Grössen in A, V, U./min usw., die mit grossen Buchstaben bezeichnet werden, sollen die bezogenen Grössen mit dem entsprechenden kleinen Buchstaben angeschrieben werden.

### 2.1 Das Generatorfeld

In Fig. 2 ist das Generatorfeld herausgezeichnet. Zwischen der Erregerspannung  $U_{eg}$ , dem Erregerstrom  $I_{eg}$  und dem Fluss  $\Phi_g$  besteht die Beziehung:

$$-U_{eg} + I_{eg} R_{eg} + N_{eg} \frac{d\Phi_g}{dt} = 0 \quad (1)$$

(Bezeichnungen siehe Fig. 2)

Wir führen nun bezogene Grössen ein, indem wir Gl. (1) durch  $U_{egn}$  dividieren, wobei zu beachten ist, dass  $U_{egn} = I_{egn} R_{eg}$  ist, es folgt dann:

$$-u_{eg} + i_{eg} + T_{eg}' \frac{d\varphi_g}{dt} = 0 \quad (2)$$

wobei für  $N_{eg}\Phi_{gn}/I_{egn}R_{eg}$  eine fiktive Zeitkonstante  $T_{eg}'$  eingeführt wurde. Der Zusammenhang zwischen  $T_{eg}'$  und der gebräuchlichen Zeitkonstante  $T_{eg}$  der

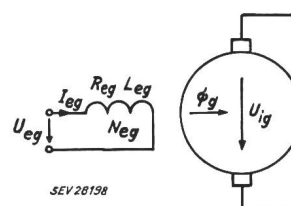


Fig. 2

Generatorfeld  
Bezeichnungen siehe im Text

Erregerwicklung im ungesättigten Bereich soll später gezeigt werden.

Wir stellen Gl. (2) etwas um

$$\frac{d\varphi_g}{dt} = \frac{u_{eg}}{T_{eg}'} - \frac{i_{eg}}{T_{eg}'} \quad (3)$$

Mit einem Integrator eines elektronischen Analogiergerätes lässt sich diese Gleichung lösen; wenn an den einen Eingang die mit  $1/T_{eg}'$  multiplizierte Grösse  $u_{eg}$  und an einen zweiten Eingang die mit  $1/T_{eg}'$  multiplizierte Grösse  $-i_{eg}$  hineingegeben wird, so erscheint am Ausgang des Integrators die Grösse  $-\varphi_g$  (Fig. 3). Das negative Vorzeichen ist dadurch bedingt, dass die elektronischen Integratoren, wie auch die Verstärker (Summierglieder) bei Analogiergeräten einen Vorzeichenwechsel hervorrufen.

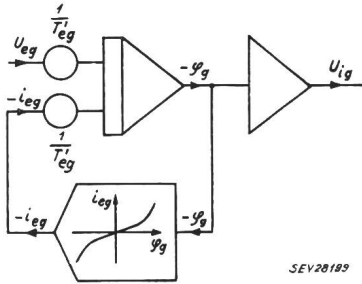


Fig. 3  
Nachbildung des Generatorfeldes  
Bezeichnungen siehe im Text

Nun ist aber zu beachten, dass zwischen dem Erregerstrom  $i_{eg}$  und dem Fluss  $\varphi_g$  eine nichtlineare Beziehung durch die Magnetisierungskurve oder Leerlaufkurve des Generators besteht. Die Leerlaufkurve in bezogenen Einheiten ist in Fig. 4 dargestellt. Um nun die Verhältnisse im Generatorfeld richtig nachzubilden, muss man aus dem Fluss  $\varphi_g$  mit Hilfe der inversen Magnetisierungskurve den dazugehörigen Erregerstrom  $i_{eg}$  bestimmen. Dazu muss ein nichtlineares Glied, ein sog. Funktionsgeber herbeigezogen werden, der dann, wie in Fig. 3 gezeigt, zwischen den Ausgang des Integrators und den einen Eingang gelegt werden muss. Mit dieser Anordnung kann man nun bei einem zeitlich veränderlichen Verlauf der Erregerspannung  $u_{eg}$  den Verlauf des Flusses  $\varphi_g$  bestimmen.

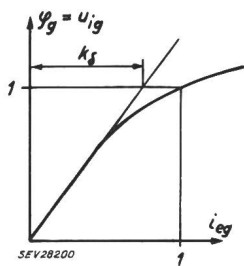


Fig. 4  
Leerlaufkurve des Generators  
Bezeichnungen siehe im Text

regerwicklung durch Multiplikation mit dem Faktor  $k_\delta$  folgt.  $k_\delta$  ist dabei einfach der Anteil des Luftspaltes am Erregerstrom im Nennpunkt, entsprechend der Darstellung in Fig. 4.

Unter Annahme der meist gut zutreffenden Voraussetzung, dass die Drehzahl des Ward-Leonardgenerators konstant sei, ist die induzierte Spannung proportional dem Fluss. Bei bezogenen Einheiten wird diese Proportionalitätskonstante gleich eins, so dass gilt:

$$u_{ig} = \varphi_g \quad (4)$$

In der Nachbildung auf dem Analogiergerät nach Fig. 3 soll noch ein Verstärker zur Vorzeichenumkehr eingeschaltet werden, so dass am Ausgang dieses Verstärkers die Grösse  $u_{ig}$  erscheint.

## 2.2 Das Motorfeld

Das Motorfeld könnte auf die gleiche Art und Weise wie das Generatorfeld nachgebildet werden. Es sei aber vorausgesetzt, dass das Motorfeld konstant ist, wobei zur Drehzahlerhöhung eine fest einstellbare Feldschwächung vorgenommen werden kann. In diesem Fall geht das Motorfeld, wie später gezeigt wird, als einstellbare Konstante in die Nachbildung ein, und es sind zur Nachbildung keine weiteren Kreise vorzusehen.

## 2.3 Der Ankerkreis

Aus Fig. 5 gehen die wesentlichen Grössen im Ankerkreis hervor. Im Generator wird die Spannung  $U_{ig}$ , im Motor die Spannung  $U_{im}$  induziert. Im Ankerkreis fliesst der Strom  $I_a$ . Der Ohmsche Widerstand, bzw. die Induktivität des ganzen Ankerkreises ist mit  $R_a$  bzw.  $L_a$  bezeichnet.

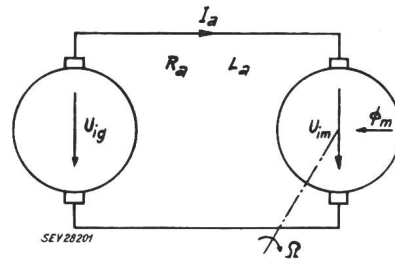


Fig. 5  
Ankerkreis  
Bezeichnungen siehe im Text

Da die Verhältnisse im Ankerkreis als linear angesehen werden dürfen, so soll hier die Laplace-Transformation herbeigezogen werden, wobei wir die Anfangsbedingungen zu null annehmen. Die Gleichung für den Ankerkreis lautet dann:

$$-\tilde{U}_{ig} + \tilde{I}_a (R_a + p L_a) + \tilde{U}_{im} = 0 \quad (5)$$

Das  $\sim$ -Zeichen über den Symbolen soll andeuten, dass es sich um Grössen im Bildbereich der Laplace-Transformation handelt. Wir führen wiederum bezogene Grössen ein, wobei zu beachten ist, dass  $U_{imn} = U_{ign} - I_{an} R_a$  ist, es folgt dann:

$$-\tilde{u}_{ig} + \tilde{i}_a r_a (1 + p T_a) + \tilde{u}_{im} (1 - r_a) = 0 \quad (6)$$

Dabei ist die Zeitkonstante:

$$T_a = \frac{L_a}{R_a}$$

und der bezogene Ohmsche Widerstand des Ankerkreises:

$$r_a = \frac{I_{an} R_a}{U_{ign}}$$

Wir haben zu beachten, dass die im Motor induzierte Spannung  $u_{im}$  einerseits proportional dem Motorfluss  $\varphi_m$ , andererseits proportional der Drehzahl ist, d. h.:

$$u_{im} = \varphi_m \omega \quad (7)$$

Der bezogene Motorfluss  $\varphi_m$  ist eine Konstante, während die bezogene Drehzahl  $\omega$  veränderlich ist. Setzen wir Gl. (7) in Gl. (6) ein und lösen nach  $\tilde{i}_a r_a$  auf, so folgt:

$$\tilde{i}_a r_a = [\tilde{u}_{ig} - \varphi_m (1 - r_a) \tilde{\omega}] \frac{1}{1 + pT_a} \quad (8)$$

Es gibt bei gewissen elektronischen Analogierechnern Geräte, welche die Funktion

$$\frac{1}{1 + pT}$$

was ja zeitlich nichts anderes als eine einfache Verzögerung mit der Zeitkonstanten  $T$  ist, direkt nachbilden. Gl. (8) können wir nun im Originalbereich mit Hilfe des Analogierechners nachbilden, wie Fig. 6 zeigt.

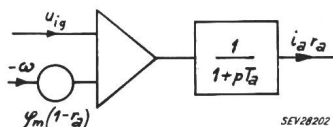


Fig. 6  
Nachbildung des Ankerkreises  
Bezeichnungen siehe im Text

An den einen Eingang eines Verstärkers wird die im Generator induzierte Spannung  $u_{ig}$  angelegt, während an einem zweiten Eingang die noch mit  $\varphi_m (1 - r_a)$  zu multiplizierende Drehzahl mit negativem Vorzeichen einzugeben ist. Der Ausgang dieses Verstärkers wird mit einem  $1/(1 + pT)$ -Glied verbunden, so, dass an dessen Ausgang nun  $i_a r_a$ , d. h. der relative Ohmsche Spannungsabfall im Ankerkreis erscheint. Zu beachten ist wiederum die Vorzeichenumkehr beim Verstärker und  $1/(1 + pT)$ -Glied.

#### 2.4 Die Bewegungsgleichung

Auf den Rotor des Antriebsmotors wirkt einerseits das elektrische Antriebsmoment  $M_a$  und andererseits das Belastungsmoment  $M_b$  von der anzutreibenden Maschine (Fig. 7). Wenn  $J$  das Massenträgheitsmoment aller rotierenden Massen, bezogen auf die Motorwelle ist, so lautet die Bewegungsgleichung:

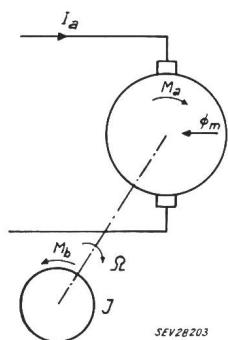


Fig. 7  
Zur Ableitung der  
Bewegungsgleichung  
Bezeichnungen siehe im Text

$$\frac{d\Omega}{dt} J = M_a - M_b \quad (9)$$

Das Antriebsmoment des Motors ist:

$$M_a = k_m \Phi_m I_a$$

wobei  $k_m$  eine Motorkonstante ist. Führt man nun in der Bewegungsgleichung bezogene Größen ein, wobei Antriebs- und Belastungsmoment auf das Motornennmoment  $M_{an} = k_m \Phi_{mn} I_{an}$  bezogen werden sollen, so folgt:

$$\frac{d\omega}{dt} = \frac{\varphi_m i_a}{T_m} - \frac{m_b}{T_m} = \frac{\varphi_m}{r_a T_m} i_a r_a - \frac{m_b}{T_m} \quad (10)$$

Die mechanische Zeitkonstante, auch Anlaufzeitkonstante genannt, ist

$$T_m = \frac{J \Omega_n}{M_{an}}$$

$T_m$  ist die Zeit, die erforderlich wäre, um die rotierenden Schwungmassen mit dem konstanten Moment  $M_{an}$  von Stillstand auf Nennwinkelgeschwindigkeit  $\Omega_n$  zu beschleunigen.

Die Bewegungsgleichung lässt sich wiederum einfach nachbilden (Fig. 8). Auf den Eingang eines Integrators wird einerseits der mit  $\varphi_m/r_a T_m$  multiplizierte relative Ohmsche Spannungsabfall  $i_a r_a$ , andererseits das Belastungsmoment  $-m_b$ , das mit  $1/T_m$  zu multiplizieren ist, gegeben, so dass am Ausgang  $-\omega$ , d. h. die Drehzahl, mit negativem Vorzeichen erscheint.

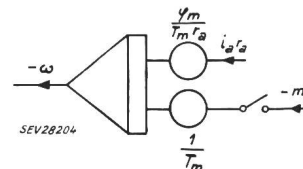


Fig. 8  
Nachbildung der Bewegungsgleichung  
Bezeichnungen siehe im Text

Mit einem Schalter können Laststöße nachgeahmt werden. Bei der Anordnung von Fig. 8 wurde angenommen, dass das Belastungsmoment konstant sei, was einen häufigen Fall darstellt. Ist das Belastungsmoment proportional der Drehzahl, so müsste zur Nachbildung an Stelle einer konstanten Spannung  $-m_b$  eine der Drehzahl proportionale Spannung eingeführt werden.

#### 2.5 Die gesamte Nachbildung des Ward-Leonard-Kreises

Die vorgängig behandelten Elemente und deren Nachbildung, nämlich Generatorfeld, Ankerkreis und Bewegungsgleichung, lassen sich nun zusammensetzen, und man erhält das in Fig. 9 gezeigte Schema für die Schaltung der Analogiemaschine.

Die Eingangsgröße ist die Erregerspannung  $u_{eg}$  des Generators, während am Ausgang die Drehzahl  $\omega$  erscheint. Als Störgröße kann die Belastung  $m_b$  durch die anzutreibende Maschine angesehen werden.

Die Tatsache, dass die Drehzahl mit negativem Vorzeichen erscheint, ist in vielen Fällen erwünscht, überall da, wo der Istwert, d. h. das Drehzahlensignal, mit negativem Vorzeichen in den Regler eingeführt werden muss. In den andern Fällen müsste noch ein weiterer Verstärker für die Vorzeichenumkehr eingeschaltet werden.

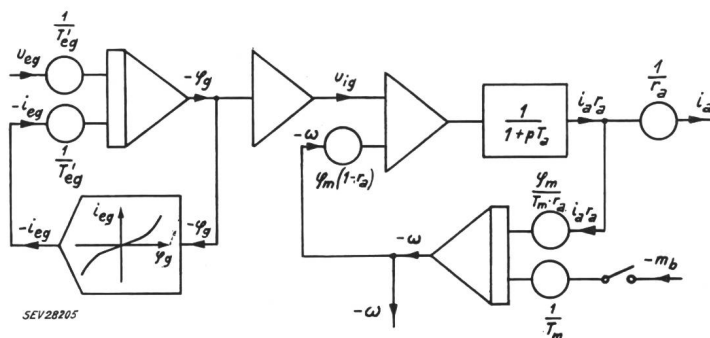
Bei der Durchführung der Schaltung auf einem Analogie-Gerät müssen noch Maßstabfragen abgeklärt werden, da an den Potentiometern nur Konstanten  $\leq 1$  eingestellt werden können. Den Zeitmaßstab wird man 1 : 1 wählen, besonders wenn der

richtige Regler geprüft werden soll. Es soll hier jedoch nicht näher auf diese Fragen eingegangen werden.

### 2.6 Beispiele durchgeführter Untersuchungen

In Fig. 10 und 11 ist der Verlauf der Drehzahl  $\omega$ , bzw. des Ankerstromes  $i_a$  beim Zu-

Fig. 9  
Nachbildung des Ward-Leonard-Kreises  
Bezeichnungen siehe im Text



und Abschalten des Nennmomentes bei einem unregulierten Ward-Leonard-Kreis dargestellt. Es wurde dabei der Einfluss verschiedener Ankerzeitkonstanten  $T_a$  und verschiedener Anlaufzeitkonstanten  $T_m$  untersucht. Zu beachten ist, dass auch bei einer unregulierten Maschine ein Überschwingen

Grösse des Flusses, wenn auch nur in relativ geringem Masse, beeinflusst. Bei Ward-Leonard-Kreisen darf nun aber oft dieser Einfluss nicht vernachlässigt werden.

Es sind bei der Ankerrückwirkung zwei Anteile zu berücksichtigen. In Fig. 12 ist der Verlauf des Flusses in Funktion des Ankerstromes bei konstantem Erregerstrom gezeigt. Der erste Anteil  $a$ , der durch die sog. Feldverzerrung unter dem Hauptpol und durch die Kommutierung bedingt ist, ist nichtlinear und von der Richtung des Ankerstromes unabhängig, wobei immer eine feldschwächende Wirkung auftritt. Es ist zu beachten, dass in Ward-Leonard-Kreisen die Richtung des Ankerstromes, z. B. beim Bremsen oder Reversieren ohne weiteres ändern kann. Der zweite Anteil, der z. B.

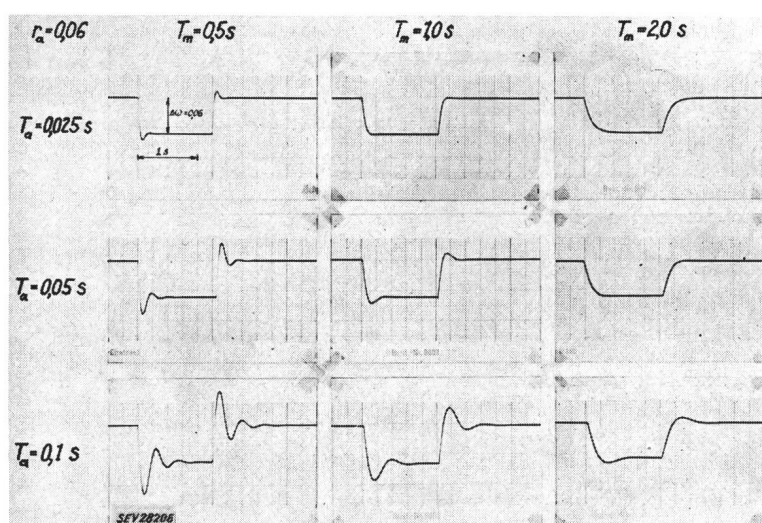


Fig. 10  
Verlauf der Drehzahl  $\omega$  beim Zu- und Abschalten von  $m_b = 1$  bei einem unregulierten Ward-Leonard-Antrieb  
Bezeichnungen siehe im Text

über den Endzustand auftreten kann. Dieses Überschwingen ist um so ausgeprägter, je grösser die Ankerzeitkonstante  $T_a$  im Verhältnis zur mechanischen Anlaufzeitkonstante  $T_m$  ist.

Der zeitliche Verlauf der Ankerstromänderung unterscheidet sich nicht wesentlich von demjenigen der Drehzahl. Vor allem sind die Übergänge entsprechend der Ankerzeitkonstante  $T_a$  ausgerundet. Dies ist besonders bei  $T_a = 0,1$  s deutlich sichtbar.

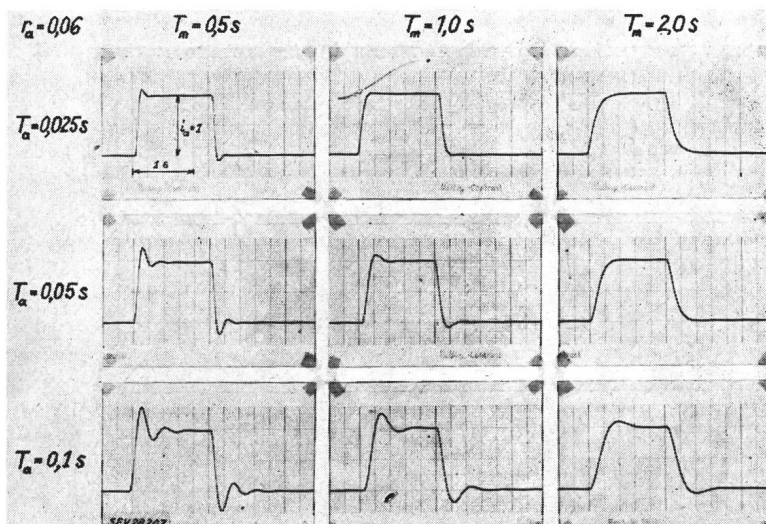
### 3. Die Berücksichtigung der Ankerrückwirkung

#### 3.1 Der Einfluss der Ankerrückwirkung

Bis jetzt wurde stillschweigend vorausgesetzt, dass der Fluss im Generator wie auch im Motor nur vom Erregerstrom abhängig ist. Dies trifft nun nicht genau zu, da auch der Ankerstrom infolge der sog. Ankerrückwirkung die

von ungenauer Einstellung der Bürsten in der neutralen Zone herrühren kann, darf praktisch als mit dem Ankerstrom proportional angesehen werden, so dass sich der Einfluss mit der Stromrichtung ändert (Fig. 12). Je nachdem kann hier nun das Feld geschwächt oder verstärkt werden (Verlauf  $b$  oder  $b'$ ). Durch genaue Bürsteneinstellung lässt sich

Fig. 11  
Verlauf des Ankerstromes  $i_a$  beim Zu- und Abschalten von  $m_b = 1$  bei einem unregulierten Ward-Leonard-Antrieb  
Bezeichnungen siehe im Text



dieser zweite Anteil sehr klein halten. Statisch hat eine Compoundwicklung den gleichen Einfluss, dynamisch wäre aber noch die Kopplung mit der Erregerwicklung zu berücksichtigen.

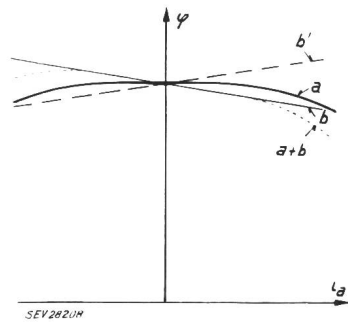


Fig. 12  
Flussverlauf in Abhängigkeit vom Ankerstrom bei Berücksichtigung der Ankerrückwirkung  
Bezeichnungen siehe im Text

Der nichtlineare und der lineare Anteil der Ankerrückwirkung überlagern sich, und man erhält z. B. den in Fig. 12 absichtlich etwas übertrieben gross dargestellten Verlauf  $a+b$  für den Fluss.

Beim Motor hat nun eine Feldverminderung, konstante Ankerspannung vorausgesetzt, zur Folge, dass die Drehzahl bei Belastung weniger abfällt. Bei grosser Ankerrückwirkung kann es nun vorkommen, dass bei Belastung der Drehzahlanstieg grösser ist, als der Drehzahlabfall infolge des Spannungsabfalles im Anker. In einem solchen Fall steigt die Drehzahl des Motors bei Belastung an (Fig. 13).

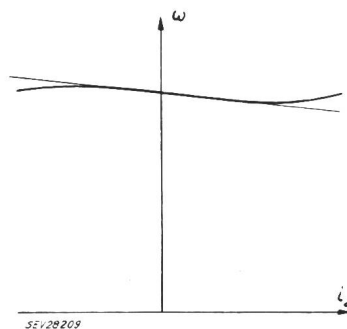


Fig. 13  
Drehzahlverlauf bei einem Motor mit Ankerrückwirkung  
Bezeichnungen siehe im Text

diese Pendelungen aber meistens beseitigen. Immerhin lässt sich oft feststellen, dass der Motor z. B. in Vorwärtsdrehrichtung stabiler läuft als in Rückwärtsdrehrichtung.

### 3.2 Nachbildung der Ankerrückwirkung

Es soll nun an Hand von Fig. 14 gezeigt werden, wie der Einfluss der Ankerrückwirkung auf der Analogierechenmaschine nachgebildet werden kann.

Ein dem Ankerstrom  $i_a$  proportionales Signal wird einem nichtlinearen Glied zugeführt, das die Verkleinerung des Flusses infolge Feldverzerrung nachbildet. Mit Hilfe von spannungsabhängigen Widerständen und Gleichrichterelementen lässt sich dieser Effekt relativ leicht erreichen. An einem Potentiometer kann die Grösse eingestellt werden. Zusammen mit einem einstellbaren linearen Anteil wird dieses ankerstromabhängige Signal beim Generator dem Verstärker zugeführt, der aus  $-\varphi_g$  die induzierte Spannung  $u_{ig}$  bildet. Je nach der Richtung des linearen Anteils ist unter Umständen noch

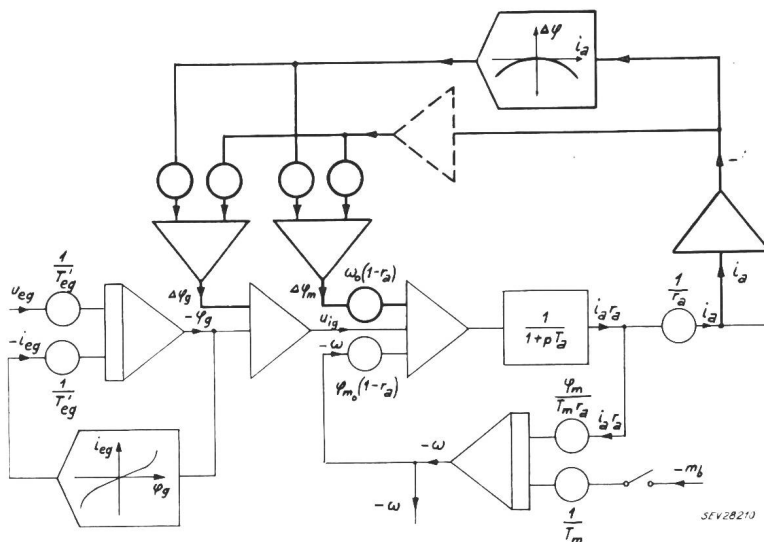


Fig. 14  
Nachbildung des Ward-Leonard-Kreises mit Berücksichtigung der Ankerrückwirkung  
Bezeichnungen siehe im Text

Bei Ward-Leonard-Kreisen wird nun der Motor von einem Generator meist gleicher Grösse gespeisen. Der Generator besitzt aber auch eine Ankerrückwirkung, insbesondere diejenige durch Feldverzerrung. Das hat zur Folge, dass die Generatorspannung stärker abfällt, als dies dem Ohmschen Spannungsabfall entspricht. Dieser zusätzliche Spannungsabfall hat nun eine stabilisierende Wirkung auf den Motor, so dass die Ankerrückwirkung infolge Feldverzerrung meist keine schwerwiegenden Folgen zeigt.

Anders dagegen verhält es sich mit der Ankerrückwirkung infolge schlechter Einstellung der

ein zusätzlicher Verstärker einzuschalten. Nun ist die Generatorspannung  $u_{ig}$ , feste Erregerspannung  $u_{eg}$  vorausgesetzt, nicht mehr konstant, sondern vom Ankerstrom abhängig.

Etwas schwieriger ist die Nachbildung der Ankerrückwirkung im Motor. Die dort induzierte Spannung ist proportional dem Fluss  $\varphi_m$  und der Drehzahl  $\omega$ . Bisher haben wir den Fluss des Motors als konstant angesehen, bei Berücksichtigung der Ankerrückwirkung ist dies jedoch nicht mehr der Fall. In diesem Fall muss man zuerst den Fluss  $\varphi_m$  unter Berücksichtigung der Ankerrückwirkung bilden und diese Grösse einem Multiplikationsglied zu-

führen, welches die Multiplikation mit der Drehzahl ausführt.

Da geeignete Multiplikatoren bei elektronischen Analogegeräten vielfach fehlen, wird man bestrebt sein, ohne einen solchen auszukommen. Beschränkt man sich auf die richtige Nachbildung in einem bestimmten Betriebspunkt, der durch den Index null gekennzeichnet werden soll, und betrachtet nur kleine Abweichungen von diesem, so kann man für das Produkt  $\varphi_m \omega$  schreiben:

$$\begin{aligned} \varphi_m \omega &= (\varphi_{m0} + \Delta\varphi_m) (\omega_0 + \Delta\omega) = \\ &= \varphi_{m0} (\omega_0 + \Delta\omega) + \Delta\varphi_m \cdot \omega_0 + \Delta\varphi_m \cdot \Delta\omega \approx \\ &\approx \varphi_{m0} \omega_0 + \Delta\varphi_m \cdot \omega_0 \end{aligned} \quad (11)$$

Dabei wurde das Produkt der kleinen Grössen  $\Delta\varphi_m \cdot \Delta\omega$  vernachlässigt.  $\varphi_{m0}$  und  $\omega_0$  sind nun wiederum im betreffenden Betriebspunkt konstant und können an Potentiometern eingestellt werden.  $\Delta\varphi_m$  ist die Änderung des Flusses infolge der Ankerrückwirkung. Diese Schaltung ist in Fig. 14 dargestellt.

### 3.3 Beispiele durchgeführter Untersuchungen

In Fig. 15 ist der Einfluss der Ankerrückwirkung entsprechend der Schaltung in Fig. 14 gezeigt.

Für die Daten  $r_a = 0,06$ ,  $T_a = 0,05$  s und  $T_m = 1,0$  s wurde der Einfluss verschiedener Ankerrückwirkungen infolge Feldverzerrung bei Nenn-

Flussänderung im Generator, ebenfalls bei  $i_a = 1$ . In beiden Fällen handelt es sich um eine Flusschwächung.

Besitzt der Generator keine Ankerrückwirkung, d. h.  $\Delta\varphi_{g1} = 0$ , so wird der Drehzahlverlauf mit zunehmender Ankerrückwirkung des Motors immer schwächer gedämpft um schliesslich unstabil zu werden. Besitzt dagegen nur der Generator eine Ankerrückwirkung, so bleibt die Drehzahl stabil, wobei der statische Drehzahlabfall mit zunehmendem  $\Delta\varphi_{g1}$  grösser wird. Haben sowohl Motor wie Generator die gleiche Ankerrückwirkung, so ändert sich am Übergangverhalten praktisch nichts. Je

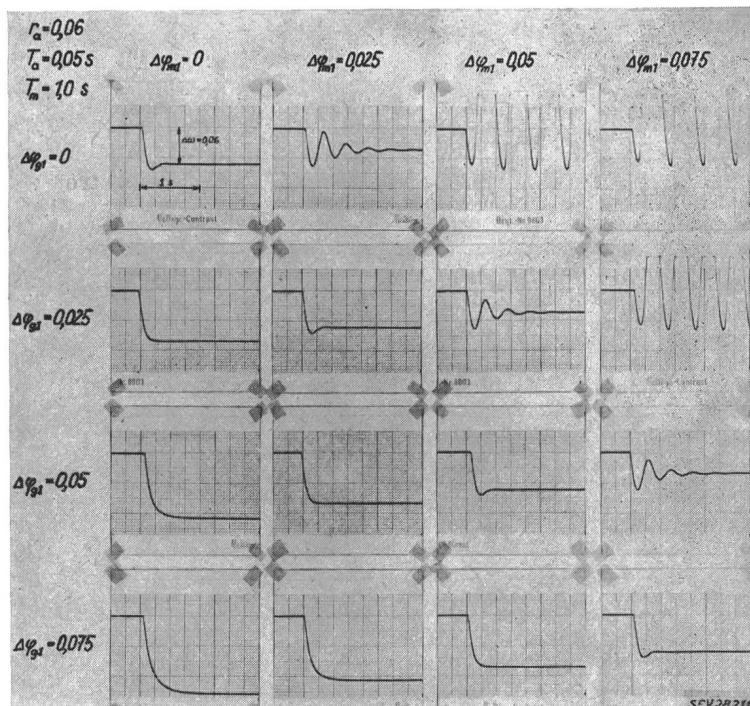


Fig. 15

Verlauf der Drehzahl  $\omega$  beim Zuschalten von  $m_b = 1$  bei Berücksichtigung der Ankerrückwirkung  $\Delta\varphi_{m1}$  im Motor, bzw.  $\Delta\varphi_{g1}$  im Generator. Bezeichnungen siehe im Text

zahl, d. h.  $\omega_0 = 1$  untersucht. Dabei ist  $\Delta\varphi_{m1}$  der Betrag der Flussänderung im Motor bei Nennstrom, d. h.  $i_a = 1$  und  $\Delta\varphi_{g1}$  der Betrag der

nach dem ob die Ankerrückwirkung des Motors oder diejenige des Generators überwiegt, ergibt sich ein unstabileres oder ein stabileres Verhalten.

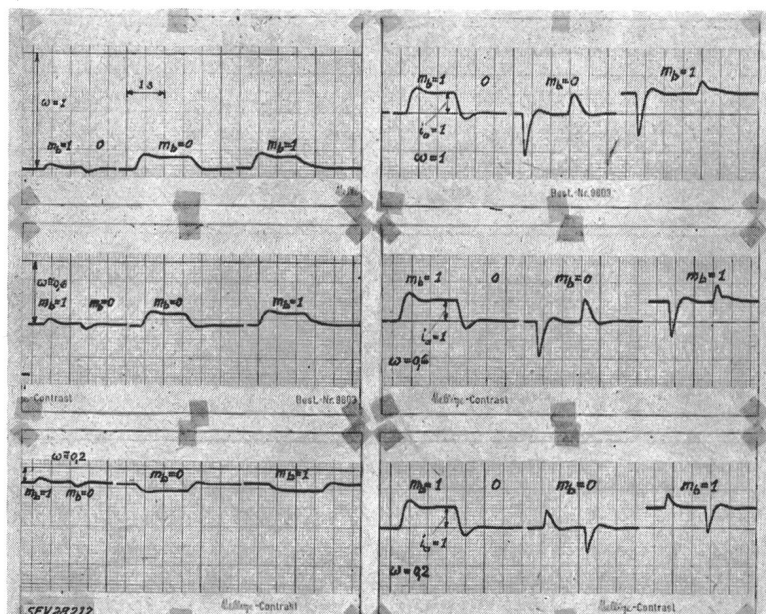


Fig. 16

Untersuchung eines geregelten Ward-Leonard-Antriebes mit Hilfe eines Analoge-Gerätes  $r_a = 0,06$ ;  $T_a = 0,033$  s;  $T_m = 1,9$  s. Bezeichnungen siehe im Text

Fig. 14 in Bezug auf die Stabilitätsgrenze zu ungünstig ist, d. h. dass bei Berücksichtigung der dynamischen Vorgänge der Drehzahlverlauf erst bei grösseren  $\Delta\varphi_{m1}$ -Werten unstabil wird. Überdies wurde der Einfluss der Feldschwächung auf das Drehmoment vernachlässigt.

#### 4. Untersuchung von Drehzahlregelungen

##### 4.1 Anschluss des Drehzahlreglers

Der Anschluss des richtigen Drehzahlreglers bietet meistens keine Schwierigkeiten. Der Istwert der Drehzahl wird normalerweise in Form einer Gleichspannung einer Tachometerdynamo entnommen. Bei den besprochenen Schaltungen des Analogiegerätes zur Nachbildung des Ward-Leonard-Kreises erscheint der Drehzahlwert ebenfalls als Gleichspannung. Unter Umständen muss lediglich ein Verstärker zur Anpassung der Spannung dazwischen geschaltet werden.

Der Ausgang der Drehzahlreleinrichtung speist in Wirklichkeit die Erregerwicklung des Ward-Leonard-Generators. Diese Erregerwicklung stellt eine induktive Belastung für den Reglerausgang dar. Besteht z. B. die Endstufe des Reglers aus einem gesteuerten Thyatrongleichrichter, so ist für ein richtiges Funktionieren dieses Gleichrichters die induktive Belastung von wesentlicher Bedeutung.

In einem solchen Fall ist es erforderlich, den Reglerausgang auf eine geeignete Induktivität zu schalten. Dabei genügt es, wenn die Zeitkonstante dieser Induktivität in der Grössenordnung der wirklichen liegt. Für den Regelvorgang massgebend ist die im Analogiegerät eingestellte Zeitkonstante  $T_{eg}$ .

##### 4.2 Beispiel einer untersuchten Regelung

In Fig. 16 sind schliesslich einige Oszillogramme zusammengestellt, die bei der Untersuchung einer einfachen Drehzahlregelung zusammen mit der Nachbildung des Ward-Leonard-Kreises aufgenommen wurden. Links ist der Verlauf der Drehzahl (Ausschlag nach unten, entsprechend dem negativen Istwert) und rechts der Verlauf des Ankerstromes  $i_a$  aufgetragen. Auf dem gleichen Streifen ist von links nach rechts das Zu- und Abschalten der Nennlast  $m_b = 1$  (Laststoss), eine plötzliche Verstellung des Sollwertes (Sollwertstoss) bei belasteter Maschine  $m_b = 0$  und ein Sollwertstoss bei belastetem Motor  $m_b = 1$  dargestellt. Das langsamere Ansteigen der Drehzahl beim Beschleunigen beim Sollwertstoss mit  $m_b = 1$  ist auf die Ankerstrombegrenzung im Drehzahlregler zurückzuführen. Die Untersuchung wurde für 3 verschiedene Drehzahlwerte durchgeführt.

Adresse des Autors:

H. Bühler, Girhaldenstrasse, Bassersdorf (ZH).

## Beispiele von Regelkreisen, welche nicht lineare Elemente enthalten <sup>1)</sup>

Von R. Schraivogel, Ebikon

621-53 : 530.182

Anhand eines Beispiels aus der Praxis der Antriebsteuerung werden nicht lineare Probleme behandelt. Das Auftreten mehrerer Nichtlinearitäten im Regelkreis führt zu besonderen theoretischen Schwierigkeiten, die aber im Interesse praktischer Vorteile überwunden werden müssen.

Se basant sur un exemple tiré de la technique de la commande d'entraînements, l'auteur traite ici des problèmes non-linéaires. L'apparition de plusieurs non-linéarités dans le circuit de réglage conduit à des difficultés théoriques spéciales, mais qu'il est bon de surmonter dans le but d'en tirer des avantages pratiques.

Seit einigen Jahren ist die Regelungstechnik auf einen Stand gekommen, da man die linearen Regelprobleme als erforscht betrachten kann. Der Schwerpunkt der Untersuchungen liegt deshalb jetzt bei den nicht linearen Vorgängen, deren Schwierigkeiten man allmählich überwindet oder deren Vorteile man zu schätzen lernt. Die Vielfalt der Betrachtungen über nicht lineare Regelkreise entspricht der Ausgedehntheit dieses Gebietes. In Anbetracht der Tatsache, dass die Mehrzahl der Forschungen sich auf Regelkreise mit einer oder höchstens zwei Nichtlinearitäten beschränkt und auf Differentialgleichungen zweiter oder zur Not dritter Ordnung, ist es gut hervorzuheben, dass diese Einschränkungen sehr oft einfach nicht zulässig sind. Weiter scheint es so zu sein, dass nicht lineare Probleme dort auftauchen, wo die Projektierung der Anlage in erster Linie auf Fragen der betriebsmässigen und wirtschaftlichen Verwirklichung ausgerichtet ist und der Regeltechniker sich dem zu fügen hat.

Das Beispiel, mit dem man diese Gedanken illustrieren kann, bezieht sich auf eine Presse für die

Herstellung von Aluminiumprofilen. In Fig. 1 ist die Anordnung prinzipiell dargestellt. Ein Rezipient enthält vorgewärmtes Aluminium, welches mittels eines Kolbens unter hydraulischer Kraft  $F$  durch die Matrizenöffnung gepresst wird. Das austretende Profil kann eine Geschwindigkeit bis 1 m/s haben,

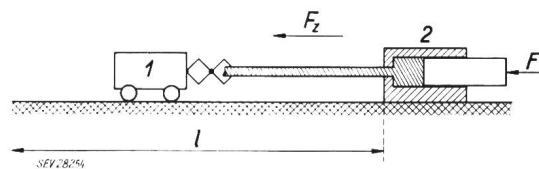


Fig. 1

Prinzipielle Darstellung der Regelaufgabe für die Führung von Aluminiumprofilen

1 Ziehwagen; 2 Presse;  $F$  hydraulischer Pressedruck;  $F_z$  Zugkraft 30...1200 kg, Profilverwindigkeit  $\leq 1$  m/s;  $l$  Auslaufweg 50 m

je nach Querschnitt und Legierung. Der Auslaufweg ist 50 m lang. Zu dieser Presse wurde eine sog. Spitzführung konstruiert, mit der Aufgabe, das Profil nicht nur gerade über die Auslaufbahn zu führen, wie es sonst von Arbeitern gemacht wurde, sondern

<sup>1)</sup> Vortrag, gehalten an der 4. Tagung der Schweizerischen Gesellschaft für Automatik vom 2. bis 5. Dezember 1959 in Zürich.